

# ORIGINAL ARTICLE

## ***Cantharidin-Induced Apoptosis in Leishmania Major Promastigotes and Macrophages Infected by Leishmania Major Amastigotes in Vitro***

Yahya Maroufi<sup>1</sup>,  
Fatemeh Ghaffarifar<sup>2</sup>,  
Abd-Alhosein Dalimi<sup>2</sup>,  
Zohreh Sharifi<sup>3</sup>,  
Zuhair Hassan<sup>4</sup>

<sup>1</sup> Ph.D Student of Medical Parasitology, Department of Parasitology, Faculty of Medical Sciences, Tarbiat Modares University, Tehran, Iran

<sup>2</sup> Department of Parasitology, Faculty of Medical Sciences, Tarbiat Modares University, Tehran, Iran

<sup>3</sup> Blood Transfusion Research Center, High Institute for Research and Education in Transfusion Medicine, Tehran, Iran

<sup>4</sup> Department of Immunology, Faculty of Medical Sciences, Tarbiat Modares University, Tehran, Iran

(Received February 6, 2012 ; Accepted May 22, 2012)

### **Abstract**

**Background and purpose:** *Leishmania* is flagellated protozoa and causative agent of leishmaniasis. It is one of the main public health problems in developing countries. Cantharidin is terpenoid component that exists in Meloidae and Oedemeridae beetles. Cantharidin is vesicant and could induce apoptosis in cancerous cells. This study was performed to determine the role of cantharidin in inducing apoptosis in the *Leishmania* promastigotes and macrophages infected with parasite.

**Materials and methods:** In this experimental study the effect of cantharidin was evaluated at concentration range of 0.5-50 µg/mL on the *L. major* promastigotes and concentration range of 5, 20 and 50µg/mL on macrophages infected with *L. major* after 24, 48 and 72hrs by flow cytometry assay.

**Results:** Results showed that cantharidin with concentration levels of 50 µg/mL and 0.5 µg/mL has 68.50% cytotoxicity (as 63.23% apoptosis, 5.27% late apoptosis and 0% necrosis) and 14.29% cytotoxicity (as 13.12% apoptosis, 1.12% late apoptosis and 0.05% necrosis) in promastigotes after 72hrs, respectively. Cytotoxicity 0.5 µg/mL and 50 µg/mL cantharidin in infected macrophages after 48hrs was 61.81% (as 43.42% apoptosis, 1.27% late apoptosis and 17.11% necrosis) and 44.44% (as 31.05% apoptosis, 10.08% necrosis and 3.31% late apoptosis), respectively. Cytotoxicity of 50µg/mL and 5µg/mL cantharidin in non-infected macrophages after 48hrs was also 49.34% (as 21.35% apoptosis, 4.23% late apoptosis and 23.76% necrosis) and 43.79% (as 34.90% apoptosis, 7.27% necrosis and 1.61% late apoptosis), respectively.

**Conclusion:** This research indicates that cantharidin at different concentration and times could induce apoptosis in *L. major* promastigotes and macrophages infected with amastigotes.

**Keywords:** Apoptosis, cantharidin, flow cytometry, *Leishmania major*

J Mazand Univ Med Sci 2012; 22(89): 32-40 (Persian).

# القای آپوپتوز توسط کانتاریدین در پرماستیگوت‌ها و ماکروفاژهای آلووده به آماتیگوت‌های لیشمانیا ماذور در شرایط آزمایشگاهی

یحیی معروفی<sup>۱</sup>

فاطمه غفاری فر<sup>۲</sup>

عبدالحسین دلیمی<sup>۳</sup>

زهره شریفی<sup>۳</sup>

زهیر حسن<sup>۳</sup>

## چکیده

**سابقه و هدف:** لیشمانیا تک یاخته‌ایی تاژکدار عامل لیشمانیوزیس است و مشکل عده سلامت در بسیاری از کشورها، به خصوص در کشورهای در حال توسعه است. کانتاریدین ترکیبی ترپنئیدی است که در سوسک‌های خانواده Meloidae و Oedemeridae وجود دارد و ماده‌ایی تاول زاست که در سلول‌های سلطانی، مرگ برنامه‌ریزی شده را القاء می‌کند. این مطالعه جهت تعیین اثر کانتاریدین در القاء مرگ برنامه‌ریزی شده سلولی در پرماستیگوت و ماکروفاژ آلووده به لیشمانیا صورت گرفت.

**مواد و روش‌ها:** در این مطالعه تجربی اثر کانتاریدین با غلظت‌های ۰/۵ تا ۵۰ میکروگرم در میلی‌لیتر، بر پرماستیگوت لیشمانیا ماذور و غلظت‌های ۵۰، ۵، ۲۰، ۵ میکروگرم در میلی‌لیتر بر ماکروفاژ آلووده به لیشمانیا ماذور در شرایط آزمایشگاهی پس از گذشت ۲۴، ۲۶ و ۷۲ ساعت، با فلوسایتو متراژ بررسی شد.

**یافته‌ها:** نتایج نشان داد که کانتاریدین با غلظت ۵۰ و ۵ میکروگرم در میلی‌لیتر دی متیل سولفونیک ید (Dimethyl sulfoxid: DMSO) پس از ۷۲ ساعت در پرماستیگوت‌ها به ترتیب ۶۸/۵ درصد کشندگی (۶۳/۲۳) درصد مرگ برنامه‌ریزی شده سلولی، ۵/۲۷ درصد مرگ برنامه‌ریزی شده تأخیری و صفر درصد نکروز (۱۴/۲۹) و درصد کشندگی (۱۳/۱۲) مرگ برنامه‌ریزی شده، ۱/۱۲ درصد مرگ برنامه‌ریزی شده تأخیری و ۰/۰۵ درصد نکروز (۰/۰۵) میزان کشندگی کانتاریدین ۵۰ و ۵ میکروگرم در میلی‌لیتر بر ماکروفاژ آلووده پس از گذشت ۴۸ ساعت به ترتیب ۶۱/۸۱ درصد (۴۳/۴۲) درصد مرگ برنامه‌ریزی شده سلولی، ۱/۲۷ درصد مرگ برنامه‌ریزی شده تأخیری و ۱۷/۱۱ درصد نکروز (۴۴/۴۴) و درصد ۳۱/۰۵ درصد مرگ برنامه‌ریزی شده سلولی، ۳/۳۱ درصد نکروز و ۱۰/۰۸ درصد نکروز (۰/۰۸) درصد نکروز (۰/۰۸) همچنین میزان کشندگی کانتاریدین ۵۰ و ۵ میکروگرم در میلی‌لیتر بر ماکروفاژ غیرآلووده پس از گذشت ۴۸ ساعت به ترتیب ۴۹/۳۴ درصد (۴۳/۳۵) درصد مرگ برنامه‌ریزی شده سلولی، ۴/۲۳ درصد مرگ برنامه‌ریزی شده تأخیری و ۲۳/۷۶ درصد نکروز (۰/۰۷۶) درصد (۰/۰۷۶) درصد مرگ برنامه‌ریزی شده سلولی، ۷/۲۷ درصد نکروز و ۱/۶۱ درصد مرگ برنامه‌ریزی شده تأخیری (۰/۰۱) بود.

**استنتاج:** نتایج نشان داد که کانتاریدین در زمان و غلظت‌های متفاوت باعث القای مرگ برنامه‌ریزی شده سلولی در پرماستیگوت‌های لیشمانیا ماذور و ماکروفاژ آلووده به لیشمانیا ماذور می‌شود.

**واژه‌های کلیدی:** آپوپتوز، فلوسایتو متراژ، کانتاریدین، لیشمانیا ماذور

## مقدمه

سه شکل جلدی، جلدی-مخاطی و احشایی وجود دارد. حدود ۱۲ میلیون نفر در ۸۸ کشور دنیا به لیشمانیازیس

لیشمانیا جزو تک یاختگان تاژکدار و عامل بیماری لیشمانیوزیس است. لیشمانیوزیس (leishmaniosis) به

E-mail: ghafarif@modares.ac.ir

- مؤلف مسئول:** فاطمه غفاری فر- تهران: دانشگاه تربیت مدرس، دانشکده علوم پزشکی، گروه انگل شناسی پزشکی  
 ۱. دانشجوی دکتری تخصصی انگل شناسی پزشکی، گروه انگل شناسی پزشکی، دانشکده علوم پزشکی، دانشگاه تربیت مدرس  
 ۲. گروه انگل شناسی پزشکی، دانشکده علوم پزشکی، دانشگاه تربیت مدرس  
 ۳. گروه ویروس‌شناسی، سازمان انتقال خون  
 ۴. گروه ایمونولوژی، دانشکده علوم پزشکی، دانشگاه تربیت مدرس

تاریخ دریافت: ۹۰/۱۱/۱۷ تاریخ تصویب: ۹۱/۰۳/۲۰ تاریخ ارجاع جهت اصلاحات: ۹۱/۱۱/۲۰

شدید در احشام اهمیت پزشکی و اقتصادی دارد<sup>(۹)</sup>. کانتاریدین از چند طریق بر سلول‌ها اثر می‌گذارد؛ I) مهار پروتئین فسفاتاز ۱ و ۲ (protein phosphatase 1, 2: PP1A, PP2A)؛ پروتئین فسفاتازها از طریق فسفریلاسیون-دفسفریلاسیون در عملکردهای مختلف سلولی نقش دارند و هدایت سیگنال‌های واپسیه به فسفریلاسیون را بر عهده دارند، همچنین محل اتصال بسیاری از سوم طبیعی هستند. از طریق تعیین توالی اسیدهای آمینه، پروتئین متصل شونده به کانتاریدین (Cantharidin-binding protein: CBP)، به عنوان پروتئین فسفاتاز معرفی شد<sup>(۱۰)</sup>. کانتاریدین فسفریلاسیون پروتئین‌های تنظیمی را افزایش می‌دهد (II). فعال کردن مرگ برنامه‌ریزی شده سلولی (Apoptosis)، کانتاریدین باعث افزایش کاسپاز ۳ (Caspase 3) شده و همزمان ۲ Bcl که پروتئین ضد مرگ برنامه‌ریزی شده سلولی است را کاهش می‌دهد<sup>(۱۱، ۱۲)</sup>. کانتاریدین کاسپاز ۸ و ۹ را نیز افزایش داده و تمام مهار کننده‌های کاسپاز را بلوکه می‌کند. همچنین مانع فسفریلاسیون STAT3 (Signal transducer and activator of transcription 3) می‌شود، STAT3 رونویسی ژن bcl-xL را فعال می‌کند<sup>(۱۳)</sup>. برخی از مطالعات نشان می‌دهد که کانتاریدین از مسیر p53 باعث مرگ برنامه‌ریزی شده سلولی می‌شود<sup>(۱۴، ۱۵)</sup>. (III) وقه در چرخه سلولی در مرحله G2/M، کانتاریدین از طریق تشکیل دوک‌های غیرعادی تقسیم و تأخیر در تشکیل کروموزوم‌ها باعث توقف سلول در حال تکثیر، در مرحله میتوز می‌شود<sup>(۱۶، ۱۷)</sup>. آپوپتوزیس یا مرگ برنامه‌ریزی شده سلول، شامل تغییراتی از جمله چروکیدگی سلول، تراکم کروماتین، قطعه قطعه شدن DNA و متلاشی شدن هسته، جابه‌جایی فسفاتیدل سرین از سطح داخلی غشای سلول به سطح خارجی آن و همچنین فعل شدن پروتئین‌هایی به نام کاسپازها است<sup>(۱۸)</sup>. هدف از انجام این تحقیق بررسی اثر کانتاریدین در ایجاد

متلا بوده و سالانه دو میلیون مورد جدید بیماری نیز گزارش می‌شود<sup>(۱، ۲)</sup>. در ایران سالانه بیش از ۳۰ مورد در صد هزار نفر رخ می‌دهد<sup>(۳)</sup>. در لیشمانیوزیس جلدی، در محل نیش پشه، زخمی به وجود می‌آید که از چند ماه تا یک سال باقی خواهد ماند. درمان لیشمانیوزیس با ترکیبات آنتی موآن (Antimarial compounds)، شامل استیبوگلوکونات سدیم (Sodium stibogluconate) و آنتی موآن مگلومین (Meglumine antimonate) انجام می‌شود. علاوه بر عوارض این داروها، احتمال عود بیماری نیز وجود دارد<sup>(۱، ۲)</sup>.

کانتاریدین اولین بار در سال ۱۸۱۰ توسط رویکت (Robiquet) در سوسک Lytta vesicaoria شناسایی و نام‌گذاری گردید<sup>(۴)</sup>. کانتاریدین (Cantharidin) از کلمه یونانی Kantharos به معنی سوسک است. کانتاریدین جزو ترکیبات تربنوتیوئیدی و در همولنف Oedemeridae و Meloidae و سوسک‌های خانواده Oedemeridae وجود دارد، ترکیبی بی‌رنگ و بی‌بو که در حلال‌های آلی حل می‌شود. نام شیمیایی آن 2,6-Dimethyl-4,10-dioxatricyclo-decane-3,5-dione می‌باشد. دمای ذوب آن ۲۱۸ درجه سانتی‌گراد و پایدار در محیط است. کانتاریدین ماده‌ایی تاولزا است که به سوسک‌های میلوثیده، سوسک‌های تاولزا هم گفته می‌شود<sup>(۵)</sup>. کانتاریدین حدود ۲۰۰۰ سال پیش در چین به عنوان دارو مورد استفاده قرار می‌گرفته و صد سال پیش، از آن برای درمان زگیل استفاده می‌شد<sup>(۶)</sup>. حکیم جرجانی چگونگی استفاده از سوسک تاولزا (ذرازیح) را برای درمان زگیل، پیسی، ریزش مو، درمان هاری، ورم شکم و سیاه شدن ناخن شرح داده است<sup>(۷)</sup>. احشام خصوصاً اسب از طریق خوردن یونجه آلووده به کانتاریدین مسموم می‌شوند. مقدار ۰/۴۵ میکروگرم در هر کیلوگرم کانتاریدین برای اسب کشنده است<sup>(۵)</sup>. همچنین مواردی از مسمومیت انسان در اثر خوردن سوسک تاولزا گزارش شده است<sup>(۸)</sup>. کانتاریدین به دلیل خاصیت دارویی و همچنین مسمومیت

سپس تعداد  $10^5$  ماکروفاژ در میلی لیتر شمارش شد و در پلیت کشت ۹۶ خانه‌ایی به همراه محیط کشت RPMI 1640 حاوی ۱۰۰ واحد به ازای هر میلی لیتر پنی سیلین و ۱۰۰ میکروگرم در میلی لیتر استرپتومایسین و سرم جنین گاوی ۱۰ درصد کشت داده و در انکوباتور ۳۷ درجه سانتی گراد و  $CO_2$  ۵ درصد گذاشته شد. برای آلووده کردن ماکروفاژها تعداد  $10^6$  پروماستیگوت (Promastigote) انگل در میلی لیتر در مرحله ایستابی (Stationary) شمارش و به چاهک حاوی ماکروفاژ افزوده شد. پس از ۶ ساعت برای حذف ماکروفاژهای نچسبیده به ته چاهک و پروماستیگوت وارد نشده به درون ماکروفاژ، مایع رویی چاهک دور ریخته و محیط کشت تازه حاوی سرم جنین گاوی ۱۰ درصد به چاهک‌ها اضافه گردید.

#### افزودن کانتاریدین به چاهک‌ها

تعداد  $10^6$  پروماستیگوت لیشمانیا در میلی لیتر در مرحله لگاریتمی رشد، توسط لام نثوبار شمارش گردید و در پلیت کشت ۲۴ خانه‌ایی به همراه محیط کشت RPMI 1640 با سرم جنین گاوی ۱۰ درصد کشت داده شد(۲۳،۲۱). کانتاریدین با غلظت نهایی  $0.05\text{, }0.1\text{, }0.2\text{, }0.5\text{, }1\text{, }2\text{, }5\text{, }10\text{, }20\text{, }50$  میکروگرم در میلی لیتر به ماکروفاژهای آلووده به انگل و ماکروفاژهای غیرآلووده اضافه شد. هر نمونه به صورت سه بار تکرار گذاشته شد.

#### فلوسایتومنتری برای بررسی مرج برنامه ریزی شده سلولی در نمونه‌ها

برای انجام فلوسایتومنتری از کیت Annexin V-FITC (BioVision; USA) Apoptosis Detection Kit استفاده شد و نمونه‌ها پس از زمان‌های  $24\text{, }48\text{, }72$  ساعت جمع آوری و هم چنین ماکروفاژهای آلووده به انگل پس از گذشت  $24\text{, }48$  ساعت جمع آوری شدند. برای جمع آوری ماکروفاژها از ترپسین  $0.1\text{ mg}$  درصد با EDTA (Ethylene diamine tetra acetic acid)

مرگ برنامه ریزی شده سلولی در لیشمانیا مازور (Leishmania major) و ماکروفاژ آلووده به لیشمانیا مازور بود.

## مواد و روش‌ها

پژوهش حاضر یک مطالعه تجربی است. گروه کنترل شامل پروماستیگوت‌های لیشمانیا مازور، ماکروفاژ غیرآلووده و ماکروفاژ آلووده به لیشمانیا مازور بدون کانتاریدین و گروه تجربی شامل گروه‌های پروماستیگوت لیشمانیا مازور، ماکروفاژ غیرآلووده و ماکروفاژ آلووده به لیشمانیا مازور به همراه دوزهای مختلف کانتاریدین بوده‌اند.

#### کشت انگل

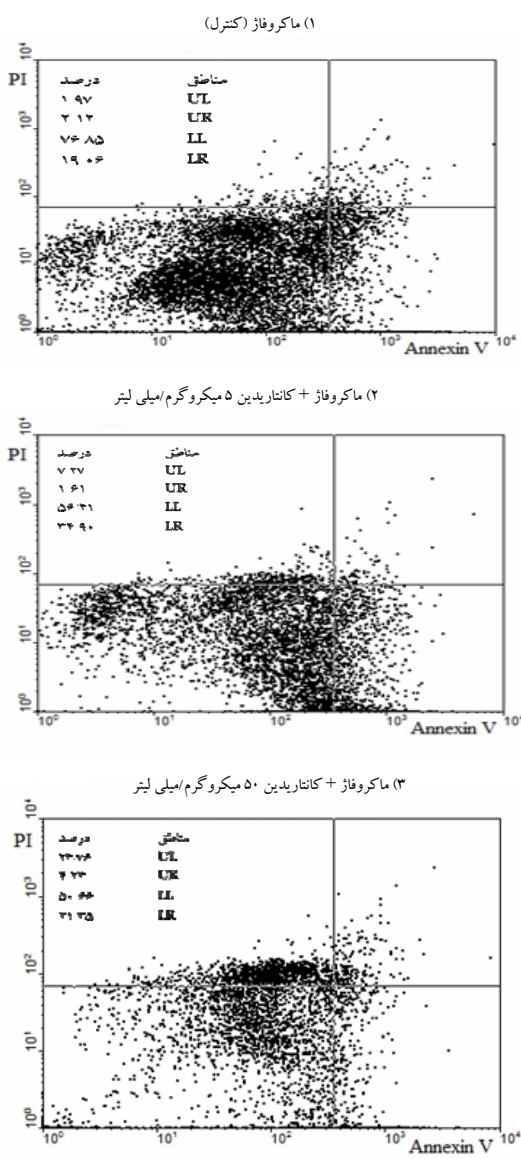
لیشمانیا مازور (MRHO/IR/75/ER) از مؤسسه رازی تهیه و در محیط کشت RPMI 1640 به همراه  $10\%$  سرم جنین گاوی غیرفعال شده (شرکت Gibco: انگلستان) در دمای  $21^\circ C$  درجه سانتی گراد کشت داده شد.

#### تهیه غلظت‌های کانتاریدین

کانتاریدین از شرکت Sigma خریداری شد و با غلظت  $20\%$  درصد در  $1\text{ ml}$  لیتر دی متیل سولفوکساید Dimethyl sulfoxide: DMSO به صورت محلول استوک، تهیه شد، که قابل نگهداری در یخچال بود. غلظت‌های  $0.05\text{, }0.1\text{, }0.2\text{, }0.5\text{, }1\text{, }2\text{, }5\text{, }10\text{, }20\text{, }50$  میکروگرم در میلی لیتر از استوک با استفاده از محیط کشت RPMI 1640 تهیه و در یخچال نگهداری شد(۲۱).

کشت ماکروفاژهای صفاقی موش و آلووده کردن آن‌ها برای جداسازی ماکروفاژهای صفاق موش  $3\text{ ml}$  لیتر PBS (Phosphate Buffered Saline) PBS موش Balb/c تزریق شد و دوباره مایع صفاقی کشیده شد. سپس با  $1500$  دور در دقیقه به مدت  $10$  دقیقه سانتریفیوژ گردید و  $2$  بار با PBS سرد شستشو داده شدند(۲۲).

درصد کشندگی ۲۱/۳۵ درصد مرگ برنامه‌ریزی شده سلولی، ۴/۲۳ درصد مرگ برنامه‌ریزی شده تأخیری و ۲۳/۷۶ درصد نکروز بود (تصویر شماره ۱).



تصویر شماره ۱: نتایج فلوسایتمتری در ماکروفازهای غیرآلوده با استفاده از نرم افزار CellQuest؛ ۱) نمونه کنترل پس از ۴۸ ساعت، ۲) ماکروفاز مواجه شده با کاتاریدین ۵ میکروگرم در میلی لیتر پس از ۴۸ ساعت، ۳) ماکروفاز مواجه شده با کاتاریدین ۵۰ میکروگرم در میلی لیتر پس از ۴۸ ساعت، محور x مربوط به آنکسین ۷ و محور y مربوط به پروپیدیوم یداید است.

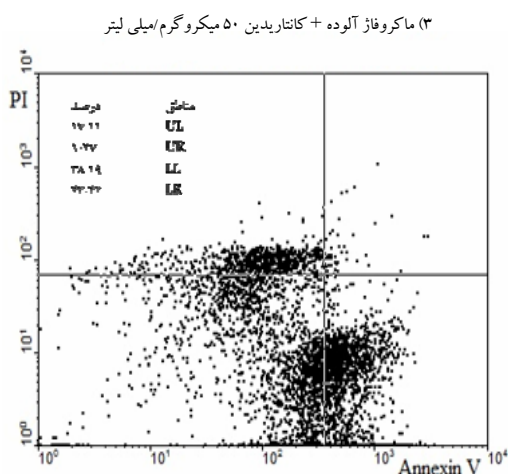
(Upper Left) UL (ناحیه چپ و بالا) (نکروز)، (Upper Right) UR (ناحیه راست و بالا) (مرگ برنامه‌ریزی شده تأخیری)، (Low Left) LL (ناحیه چپ و پایین) (سلول زنده)، (Low Right) LR (ناحیه راست و پایین) (مرگ برنامه‌ریزی شده سلولی).

استفاده شد (۲۲). نمونه جمع آوری شده در میکروتیوب، با دور ۳۰۰۰ دور در دقیقه به مدت ۵ دقیقه سانتریفوژ و مایع رویی دور ریخته شد. بر طبق دستورالعمل کیت، به رسوب حاصل ۵۰۰ میکرولیتر بافر بایندینگ (Binding)، ۵ میکرولیتر آنکسین (Annexin V) و ۵ میکرولیتر پروپیدیوم یداید (Propidium iodide) (اضافه) و میکروتیوب به آرامی تکان داده و به مدت ۵ دقیقه در تاریکی و دمای اتاق انکوبه نگهداری و سپس با دستگاه FACSCalibur بررسی شدند. فسفاتیدیل سرین (phosphatidyl serine: PS) بر سطح خارجی غشای سلول در حال مرگ برنامه‌ریزی شده ظاهر می‌شود. فسفاتیدیل سرین گیرنده ایی برای آنکسین V است، بنابراین سلول در مرحله مرگ برنامه‌ریزی شده اولیه و تأخیری برای آنکسین مثبت می‌شوند. پروپیدیوم یداید (PI) به DNA سلول متصل و چون قادر به ورود به سلول با غشای سالم نیست، تنها در سلول‌هایی که غشای آن‌ها متلاشی و یا در حال متلاشی شدن هستند، مثبت می‌شود. سلول زنده فاقد PS در سطح خارجی غشای خود هستند و PI هم قادر به عبور از غشا نیست، بنابراین سلول زنده، هم برای آنکسین و هم برای PI منفی محسوب می‌شوند.

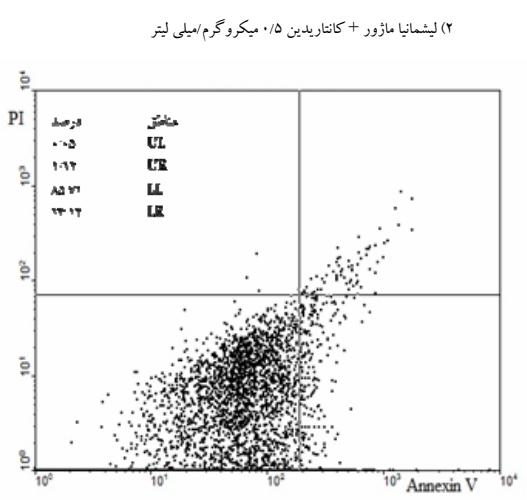
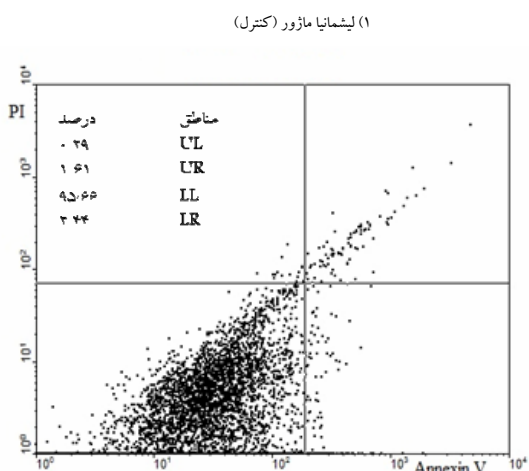
تجزیه و تحلیل داده‌ها و نتایج فلوسایتمتری رسم تصاویر مربوط به داده‌های فلوسایتمتری و محاسبه میانگین مرگ سلولی نمونه‌ها به صورت درصدی، با استفاده از نرم افزار CellQuest صورت گرفت.

## یافته‌ها

نتایج فلوسایتمتری برای ماکروفازهای غیرآلوده پس از مواجهه با کاتاریدین ۵ و ۵۰ میکروگرم در میلی لیتر DMSO و گذشت ۴۸ ساعت به ترتیب به صورت ۴۳/۷۹ درصد کشندگی (به صورت ۳۴/۹ درصد مرگ برنامه‌ریزی شده سلولی، ۷/۲۷ درصد نکروز و ۱/۶۱ درصد مرگ برنامه‌ریزی شده تأخیری) و ۴۹/۳۴

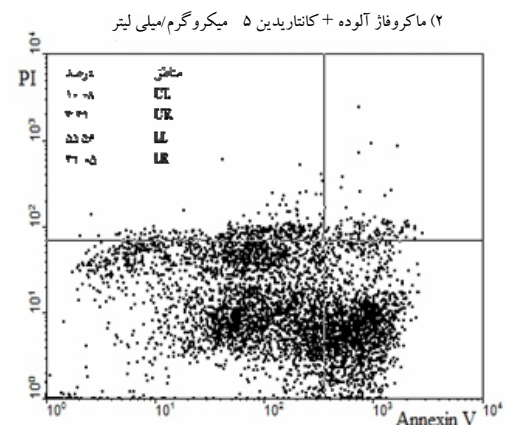
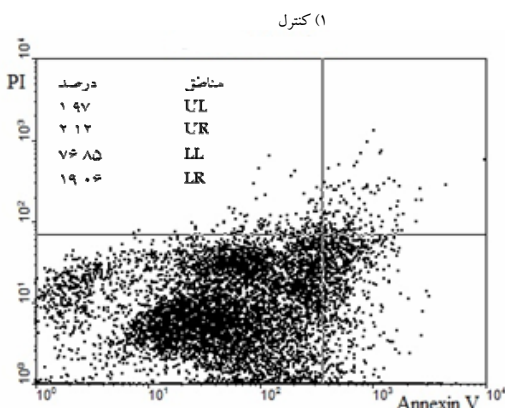


تصویر شماره ۲: نتایج فلوسایتمتری برای ماکروفازهای آلوه به انگل مازور با استفاده از نرم افزار CellQuest؛ (۱) نمونه کنترل پس از ۴۸ ساعت، (۲) ماکروفاز آلوه مواجه شده با کانتاریدین ۵ میکروگرم در میلی لیتر پس از ۴۸ ساعت، (۳) ماکروفاز آلوه مواجه شده با کانتاریدین ۵۰ میکروگرم در میلی لیتر پس از ۴۸ ساعت.



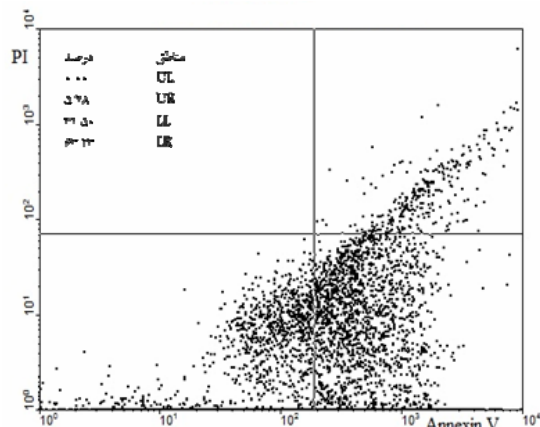
نتایج فلوسایتمتری برای ماکروفازهای آلوه به انگل پس از مواجه با کانتاریدین ۵۰ و ۵ میکروگرم در میلی لیتر DMSO پس از ۴۸ ساعت، به ترتیب ۶۱/۸۱ درصد (به صورت ۴۳/۴۲ درصد مرگ برنامه ریزی شده سلولی)، ۱/۲۷ درصد مرگ برنامه ریزی شده تأخیری و ۱۷/۱۱ درصد نکروز و ۴۴/۴۴ درصد (به صورت ۳۱/۰۵ درصد مرگ برنامه ریزی شده سلولی، ۱۰/۰۸ درصد نکروز و ۳۳/۳۱ درصد مرگ برنامه ریزی شده تأخیری) به دست آمد (تصویر شماره ۲).

نتایج فلوسایتمتری برای پروماستیگوتها لیشمانیا مازور پس از مواجه با کانتاریدین ۵۰ و ۵ میکروگرم در میلی لیتر پس از ۷۲ ساعت، به ترتیب ۶۸/۵ درصد کشندگی (به صورت ۶۳/۲۳ درصد مرگ برنامه ریزی شده سلولی، ۵/۲۷ درصد مرگ برنامه ریزی شده تأخیری و ۰ درصد نکروز) و ۱۴/۲۹ درصد کشندگی (به صورت ۱۳/۱۲ مرگ برنامه ریزی شده، ۱/۱۲ درصد مرگ برنامه ریزی شده تأخیری و ۰ درصد نکروز) را نشان داد (تصویر شماره ۳).



برنامه ریزی شده می شود و غلظت های بالا باعث نکروز می شوند. در یک مطالعه،<sup>۱</sup> IC<sub>50</sub> برای پروماستیگوت  $2 \pm 0.28$  میکرو گرم در میلی لیتر و برای ماکروفاز  $7.7 \pm 2.6$  میکرو گرم در میلی لیتر محاسبه شده است (۲۲). همچنین در مطالعه حاضر کاتاریدین باعث کاهش بقای ماکروفاز در شرایط آزمایشگاهی (In vitro) شد و میزان ATP را نیز کاهش داد (۲۴، ۱۴). بیشتر مطالعات کاتاریدین بروی سلول های سرطانی انسان بوده و مشخص شده است در سلول های هپاتوما (Hepatoma)، سلول های سرطانی کولون، کارسینومای حفره دهان و سلول های لوسمی باعث مرگ برنامه ریزی می شود (۱۵، ۲۵، ۲۶). ماکروفازها نقش مهمی در ایجاد پاسخ ایمنی میزبان علیه عفونت ها و ترشح سایتوکین ها (Cytokines) بر عهده دارد. لیشمانیا دونووانی (Leishmania donovani) و لیشمانیا مازور از طریق حذف فاکتور تحریک کنندگی کلوبنی مونوپسیت ها (Macrophage colony-stimulating factor: M-CSF) مانع از مرگ برنامه ریزی شده ماکروفاز می شوند، ولی رونویسی از ژن های TNF-α (Tumor necrosis factor-TNF-α) (Granulocyte-macrophage colony-GM-CSF alpha) (Interleukin 6 (IL-6) stimulating factor) و IL-6 (Interleukin 6) را افزایش می دهد. همچنین لیشمانیا مازور مانع از رها شدن سیتوکروم C از میتوکندری و در نتیجه فعال شدن کاسپاز ۳ ماکروفاز آلوده می شود. لیشمانیا با این عمل به بقای خود در داخل میزبان کمک می کند (۲۷، ۲۸). میلتوفوسین (Miltefosine) در لیشمانیا دونووانی با کاهش نفوذ پذیری غشای میتوکندری باعث افزایش رها شدن سیتوکروم C و نهایتاً القای مرگ برنامه ریزی شده سلولی می شود (۲۹). هنور مکانیسم دقیق القای مرگ برنامه ریزی شده سلولی توسط کاتاریدین مشخص نیست. اما مطالعات مختلف نشان داده است که کاتاریدین در سلول های سرطانی با افزایش فشار اکسیداتیو باعث تخریب DNA سلول شده و آن هم مرگ برنامه ریزی شده سلولی را از مسیر میتوکندری با

(۳) لیشمانیا مازور + کاتاریدین ۵۰ میکرو گرم / میلی لیتر



تصویر شماره ۳: نتایج فلوسایتمتری برای پروماستیگوت های لیشمانیا مازور پس از مواجه با کاتاریدین با استفاده از نرم افزار ایون (CellQuest)، ۱) نمونه کنترل، پس از ۷۲ ساعت، ۲) پروماستیگوت مواجه شده با کاتاریدین ۵۰/۵ میکرو گرم در میلی لیتر پس از ۷۲ ساعت، ۳) پروماستیگوت، تیمار شده با کاتاریدین ۵۰ میکرو گرم در میلی لیتر پس از ۷۲ ساعت.

## بحث

نتایج این مطالعه نشان می دهد که بیشترین غلظت کاتاریدین (۵۰ میکرو گرم در میلی لیتر) در DMSO پروماستیگوت های لیشمانیا مازور پس از ۷۲ ساعت سبب  $63/23$  درصد مرگ برنامه ریزی شده سلولی می شود. مقدار مرگ برنامه ریزی شده در ماکروفاز آلووده و غیر آلووده پس از مواجه با کاتاریدین  $50$  میکرو گرم در میلی لیتر و گذشت  $48$  ساعت به ترتیب  $43/42$  درصد و  $21/35$  درصد می باشد. کاتاریدین با غلظت  $50$  میکرو گرم در میلی لیتر و گذشت  $48$  ساعت در ماکروفاز غیر آلووده  $23/76$  درصد نکروز می دهد در حالی که غلظت  $5$  میکرو گرم در میلی لیتر  $7/27$  درصد نکروز و  $34/9$  درصد مرگ برنامه ریزی شده سلولی می دهد. مقدار نکروز و مرگ برنامه ریزی شده در ماکروفاز بدون دارو (به عنوان کنترل) پس از  $48$  ساعت به ترتیب  $1/97$  و  $19/06$  درصد بود. بنابراین تنها غلظت پایین کاتاریدین در ماکروفازهای غیر آلووده باعث مرگ

1. Inhibitory Concentration

از آنجا که لیشمانیا از مرگ برنامه ریزی شده سلولی ماکروفاژ آلوده، جلوگیری می کند و کانتاریدین با قدرت القای مرگ برنامه ریزی شده سلولی در پروماستیگوت لیشمانیا مازور و ماکروفاژ آلوده، به حذف انگل کمک می کند، می توان مطالعات بیشتری را در شرایط درون بدنی (In vivo) انجام داد و آن را به عنوان دارویی در درمان لیشمانیوزیس جلدی مورد بررسی قرار داد.

## سپاسگزاری

این پژوهه در قالب پایان نامه دانشجویی و با حمایت مالی دانشگاه تربیت مدرس انجام شده است. نویسندهای مقاله بدین وسیله مراتب تقدیر و تشکر خود را از معاونت پژوهشی دانشگاه تربیت مدرس به خاطر تأمین هزینه های طرح اعلام می دارند.

تحریک مولکول p53 القای مرگ کند (۱۶، ۱۷). لیشمانیا فاقد کاسپازها هستند. امام دارای پروتئین شبیه کاسپازی بنام متاکاسپاز (Metacaspase) می باشند. لیشمانیا برای کنترل جمعیت خود در داخل روده پشه و در داخل ماکروفاژها، دچار مرگ برنامه ریزی شده می شود. مرگ برنامه ریزی شده سلولی در لیشمانیا از طریق جایه جایی فسفاتیدل سرین صورت می گیرد. برخی از داروهای ضد لیشمانیا مثل میلتفسوین باعث القای مرگ برنامه ریزی شده سلولی در لیشمانیا می شوند (۲۹، ۳۰). ظاهر شدن فسفاتیدل سرین در سطح خارجی غشای پروماستیگوت لیشمانیا نشانه ایی از مرگ برنامه ریزی شده است ولی در آماتیگوت نه تنها مرگ برنامه ریزی شده سلولی صورت نمی گیرد بلکه از طریق PS به ماکروفاژ چسبیده و وارد آن می شود (۳۱).

## References

1. Kaur S, Petel H, Sharma V, Garg P, Roy N. Leishmani major structural database. *Int J Integr Biol* 2009; 7(2): 63-68.
2. Hepburn NC. Cutaneous leishmaniasis. *Clin Exp Dermatol* 2000; 25(5): 363-370.
3. Athari A, Jalalou N. A Five-Year Survey of cutaneous leishmaniasis in Iran (2001-2006). *J Isfahan Med Sch* 2006; 24(82): 8-13 (Persian).
4. Bonness K, Aragon IV, Rutland B, Ofori-Acquah S, Dean NM, Honkanen RE. Cantharidin-induced mitotic arrest is associated with the formation of aberrant mitotic spindles and lagging chromosomes resulting, in part, from the suppression of PP2Aalpha. *Mol Cancer Ther* 2006; 5(11): 2727-2736.
5. May M. Blister beetle intoxication. *Chemistry Drug Poisons*. 2000 available at: <http://chemweb.calpoly.edu/cbailey/377/PapersSp2000/Meredith/>. Accessed September 20, 2011.
6. Moed L, Shwayder TA, Chang MW. Cantharidin revisited: a blistering defense of an ancient medicine. *Arch Dermatol* 2001; 137(10): 1357-1360.
7. Yousefi M. From blisters beetle until cantharidin. *Darmangar* 2004; 3 & 4: 36-39 (Persian)
8. Tagwireyi D, Ball DE, Loga PJ, Moyo S. antharidin poisoning due to "Blister beetle" ingestion. *Toxicon* 2000; 38(12): 1865-1869.
9. Charles R. Blister beetles in alfalfa. 2010 available at: [http://aces.nmsu.edu/pubs/\\_circulars/circ536.html](http://aces.nmsu.edu/pubs/_circulars/circ536.html). Accessed September 20, 2011.
10. Li YM, Casida JE. Cantharidin-binding protein: identification as protein phosphatase 2A. *Proc Natl Acad Sci USA* 1992; 89(24): 11867-11870.
11. Knapp J, Bokník P, Lüss I, Huke S, Linck B, Lüss H, et al. The protein phosphatase inhibitor cantharidin alters vascular endothelial cell permeability. *J Pharmacol Exp Ther* 1999; 289(3): 1480-1486.

12. Kovács P, Pintér M. Effects of phosphoprotein phosphatase inhibitors (phenylarsine oxide and cantharidin) on Tetrahymena. *Cell Biochem Funct* 2001; 19(3): 197-205.
13. Xiao-hua W, Yuan-qin Y, Cheng-guang S, Fan-dong M, Ping M, You-hong J. Inhibitory effect of Cantharidin on proliferation of A549 cells. *Chinese J Cancer Res* 2007; 19(4): 283-286.
14. Huan SK, Lee HH, Liu DZ, Wu CC, Wang CC. Cantharidin-induced cytotoxicity and cyclooxygenase 2 expression in human bladder carcinoma cell line. *Toxicology* 2006; 223(1-2): 136-143.
15. Sagawa M, Nakazato T, Uchida H, Ikeda Y, Kizaki M. Cantharidin induces apoptosis of human multiple myeloma cells via inhibition of the JAK/STAT pathway. *Cancer Sci* 2008; 99(9): 1820-1826.
16. Efferth T, Rauh R, Kahl S, Tomicic M, Böchzelt H, Tome ME, et al. Molecular modes of action of cantharidin in tumor cells. *Biochem Pharmacol* 2005; 69(5): 811-818.
17. Huh JE, Kang KS, Chae C, Kim HM, Ahn KS, Kim SH. Roles of p38 and JNK mitogen-activated protein kinase pathways during cantharidin-induced apoptosis in U937 cells. *Biochem Pharmacol* 2004; 67(10): 1811-1818.
18. Kok SH, Cheng SJ, Hong CY, Lee JJ, Lin SK, Kuo YS, et al. Norcantharidin-induced apoptosis in oral cancer cells is associated with an increase of proapoptotic to antiapoptotic protein ratio. *Cancer Lett* 2005; 217(1): 43-52.
19. Huh JE, Kang KS, Ahn KS, Kim DH, Saiki I, Kim SH. Mylabrisphalerata induces apoptosis by caspase activation following cytochrome c release and Bid cleavage. *Life Sci* 2003; 73(17): 2249-2262.
20. Wang CC, Wu CH, Hsieh KJ, Yen KY, Yang LL. Cytotoxic effects of cantharidin on the growth of normal and carcinoma cells. *Toxicology* 2000; 147(2): 77-87.
21. Ghaffarifar F. *Leishmania major*: in vitro and in vivo anti-leishmanial effect of cantharidin. *Exp Parasitol* 2010; 126(2): 126-129.
22. Macey MG. Flow cytometry principles and applications. First ed. New Jersey: Humana Press Inc; 2007.
23. Tanaka AK, Valero VB, Takahashi HK, Straus AH. Inhibition of Leishmania (Leishmania) amazonensis growth and infectivity by aureobasidin A. *J Antimicrob Chemother* 2007; 59(3): 487-492.
24. Massicot F, Dutertre-Catella H, Pham-Huy C, Liu XH, Duc HT, Warnet JM. In vitro assessment of renal toxicity and inflammatory events of two protein phosphatase inhibitors cantharidin and nor-cantharidin. *Basic Clin Pharmacol Toxicol* 2005; 96(1): 26-32.
25. Fan YZ, Fu JY, Zhao ZM, Chen CQ. Influence of norcantharidin on proliferation, proliferation-related gene proteins proliferating cell nuclear antigen and Ki-67 of human gallbladder carcinoma GBC-SD cells. *Hepatobiliary Pancreat Dis Int* 2004; 3(4): 603-607.
26. Rauh R, Kahl S, Boechzelt H, Bauer R, Kaina B, Efferth T. Molecular biology of cantharidin in cancer cells. *Chin Med* 2007; 2: 8.
27. Moore KJ, Matlashewski G. Intracellular infection by *Leishmania* donovani inhibits macrophage apoptosis. *J Immunol* 1994; 152(6): 2930-2937.
28. Akarid K, Arnoult D, Micic-Polianski J, Sif J, Estaquier J, Ameisen JC. *Leishmania* major-mediated prevention of programmed cell death induction in infected macrophages is associated with the repression of mitochondrial release of cytochrome c. *J Leukoc Biol* 2004; 76(1): 95-103.

- 
29. Verma NK, Singh G, Dey CS. Miltefosine induces apoptosis in arsenite-resistant *Leishmania donovani* promastigotes through mitochondrial dysfunction. *Exp Parasitol* 2007; 116(1): 1-13.
  30. Shaha C. Apoptosis in *Leishmania* species & its relevance to disease pathogenesis. *Indian J Med Res* 2006; 123(3): 233-244.
  31. Wanderley JL, Barcinski MA. Apoptosis and apoptotic mimicry: the *Leishmania* connection. *Cell Mol Life Sci* 2010; 67(10): 1653-1659.